

# 107484 – Controle de Processos

Aula: Sistemas de 1<sup>a</sup> e 2<sup>a</sup> ordem

Prof. Eduardo Stockler Tognetti

Departamento de Engenharia Elétrica  
Universidade de Brasília – UnB



1º Semestre 2020

- 1 Sistemas de 1<sup>a</sup> ordem
- 2 Sistemas de 2<sup>a</sup> ordem
- 3 Características da resposta subamortecida
- 4 Efeito da adição de um zero e ganho negativo

# Sistemas de 1<sup>a</sup> ordem

- Considere o sistema linear

$$a_1 \frac{dy(t)}{dt} + a_0 y(t) = b f(t)$$

$$\frac{a_1}{a_0} \frac{dy(t)}{dt} + y(t) = \frac{b}{a_0} f(t)$$

$$\tau \frac{dy(t)}{dt} + y(t) = K f(t)$$

$\tau$ : constante de tempo [seg]

$K$ : ganho estático (estado estacionário)

Se  $y(0) = 0$  e  $f(0) = 0$ ,

$$G(s) = \frac{Y(s)}{F(s)} = \frac{K}{\tau s + 1} \quad (\text{atraso de 1<sup>a</sup> ordem})$$

Para  $a_0 = 0$ ,

$$G(s) = \frac{K}{s} \quad (\text{integrador puro ou puramente capacitivo})$$

# Sistemas de 1<sup>a</sup> ordem

- Considere o sistema linear

$$a_1 \frac{dy(t)}{dt} + a_0 y(t) = bf(t)$$

$$\frac{a_1}{a_0} \frac{dy(t)}{dt} + y(t) = \frac{b}{a_0} f(t)$$

$$\tau \frac{dy(t)}{dt} + y(t) = Kf(t)$$

$\tau$ : constante de tempo [seg]

$K$ : ganho estático (estado estacionário)

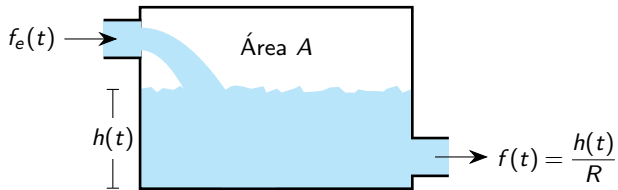
Se  $y(0) = 0$  e  $f(0) = 0$ ,

$$G(s) = \frac{Y(s)}{F(s)} = \frac{K}{\tau s + 1} \quad (\text{atraso de 1<sup>a</sup> ordem})$$

Para  $a_0 = 0$ ,

$$G(s) = \frac{K}{s} \quad (\text{integrador puro ou puramente capacitivo})$$

## Exemplo: tanque



$$A \frac{d}{dt} h(t) = f_e(t) - \frac{h(t)}{R}, \quad (R: \text{resist. ao fluxo})$$

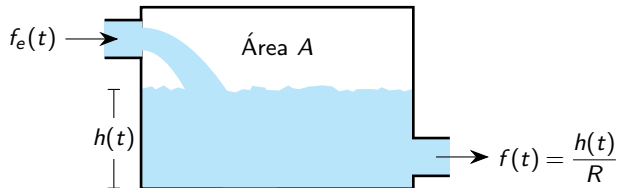
~~~ No regime permanente:  $\bar{h} = R\bar{f}_e$

~~~ Var. de desvio:  $\tilde{h}(t) \triangleq h(t) - \bar{h}$ ,  $\tilde{f}_e(t) \triangleq f_e(t) - \bar{f}_e$

~~~ Definindo  $\tau = AR$  (cte. tempo = capac. armazen.  $\times$  resist. fluxo);  $K = R$  (ganho), tem-se

$$G(s) = \frac{\tilde{H}(s)}{\tilde{F}_e(s)} = \frac{K}{\tau s + 1}$$

## Exemplo: tanque



$$A \frac{d}{dt} h(t) = f_e(t) - \frac{h(t)}{R}, \quad (R : \text{resist. ao fluxo})$$

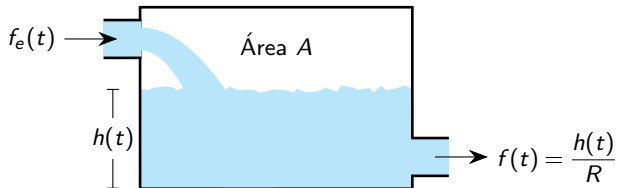
~~~ No regime permanente:  $\bar{h} = R\bar{f}_e$

~~~ Var. de desvio:  $\tilde{h}(t) \triangleq h(t) - \bar{h}$ ,  $\tilde{f}_e(t) \triangleq f_e(t) - \bar{f}_e$

~~~ Definindo  $\tau = AR$  (cte. tempo = capac. armazen.  $\times$  resist. fluxo);  $K = R$  (ganho), tem-se

$$G(s) = \frac{\tilde{H}(s)}{\tilde{F}_e(s)} = \frac{K}{\tau s + 1}$$

## Exemplo: tanque



$$A \frac{d}{dt} h(t) = f_e(t) - \frac{h(t)}{R}, \quad (R : \text{resist. ao fluxo})$$

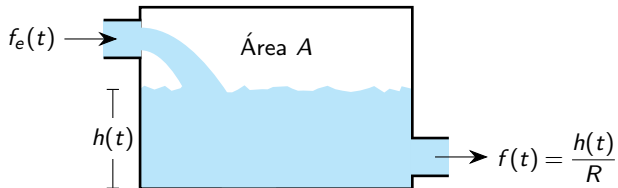
↝ No regime permanente:  $\bar{h} = R\bar{f}_e$

↝ Var. de desvio:  $\tilde{h}(t) \triangleq h(t) - \bar{h}$ ,  $\tilde{f}_e(t) \triangleq f_e(t) - \bar{f}_e$

↝ Definindo  $\tau = AR$  (cte. tempo = capac. armazen.  $\times$  resist. fluxo);  $K = R$  (ganho), tem-se

$$G(s) = \frac{\tilde{H}(s)}{\tilde{F}_e(s)} = \frac{K}{\tau s + 1}$$

## Exemplo: tanque



$$A \frac{d}{dt} h(t) = f_e(t) - \frac{h(t)}{R}, \quad (R : \text{resist. ao fluxo})$$

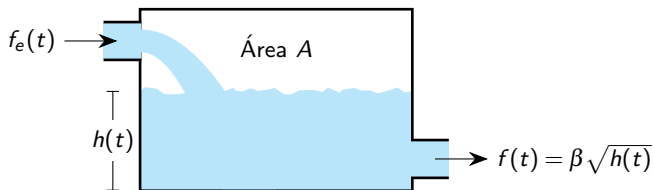
⤳ No regime permanente:  $\bar{h} = R\bar{f}_e$

⤳ Var. de desvio:  $\tilde{h}(t) \triangleq h(t) - \bar{h}$ ,  $\tilde{f}_e(t) \triangleq f_e(t) - \bar{f}_e$

⤳ Definindo  $\tau = AR$  (cte. tempo = capac. armazen.  $\times$  resist. fluxo);  $K = R$  (ganho), tem-se

$$G(s) = \frac{\tilde{H}(s)}{\tilde{F}_e(s)} = \frac{K}{\tau s + 1}$$

## Exemplo: tanque



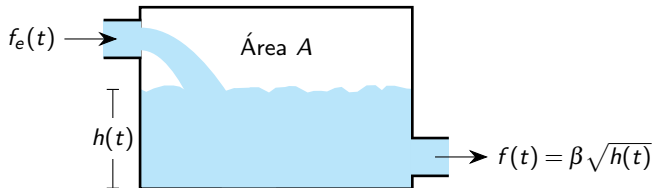
$$A \frac{d}{dt} h(t) = f_e(t) - \beta \sqrt{h(t)}$$

~ No regime permanente:  $\bar{h} = \left(\frac{\bar{f}_e}{\beta}\right)^2$ . Definindo  $\tau = \frac{2A}{\beta} \sqrt{\bar{h}}$  e  $K = \frac{2}{\beta} \sqrt{\bar{h}}$

$$G(s) = \frac{\tilde{H}(s)}{\tilde{F}_e(s)} = \frac{K}{\tau s + 1}$$

~ Valores da constante de tempo e ganho dependem do ponto de operação (linearização)  $\bar{h}$

## Exemplo: tanque



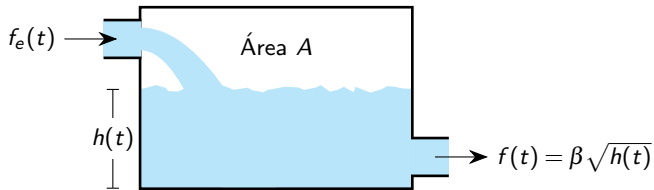
$$A \frac{d}{dt} h(t) = f_e(t) - \beta \sqrt{h(t)}$$

~ No regime permanente:  $\bar{h} = \left(\frac{\bar{f}_e}{\beta}\right)^2$ . Definindo  $\tau = \frac{2A}{\beta} \sqrt{\bar{h}}$  e  $K = \frac{2}{\beta} \sqrt{\bar{h}}$

$$G(s) = \frac{\tilde{H}(s)}{\tilde{F}_e(s)} = \frac{K}{\tau s + 1}$$

~ Valores da constante de tempo e ganho dependem do ponto de operação (linearização)  $\bar{h}$

## Exemplo: tanque



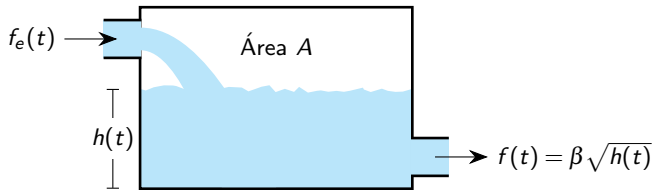
$$A \frac{d}{dt} h(t) = f_e(t) - \beta \sqrt{h(t)}$$

⤒ No regime permanente:  $\bar{h} = \left(\frac{\bar{f}_e}{\beta}\right)^2$ . Definindo  $\tau = \frac{2A}{\beta} \sqrt{\bar{h}}$  e  $K = \frac{2}{\beta} \sqrt{\bar{h}}$

$$G(s) = \frac{\tilde{H}(s)}{\tilde{F}_e(s)} = \frac{K}{\tau s + 1}$$

⤒ Valores da constante de tempo e ganho dependem do ponto de operação (linearização)  $\bar{h}$

## Exemplo: tanque



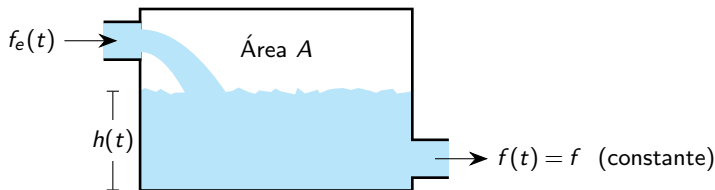
$$A \frac{d}{dt} h(t) = f_e(t) - \beta \sqrt{h(t)}$$

⟳ No regime permanente:  $\bar{h} = \left(\frac{\bar{f}_e}{\beta}\right)^2$ . Definindo  $\tau = \frac{2A}{\beta} \sqrt{\bar{h}}$  e  $K = \frac{2}{\beta} \sqrt{\bar{h}}$

$$G(s) = \frac{\tilde{H}(s)}{\tilde{F}_e(s)} = \frac{K}{\tau s + 1}$$

⟳ Valores da constante de tempo e ganho dependem do ponto de operação (linearização)  $\bar{h}$

## Exemplo: tanque (processo integrador)



~ Fluxo de saída constante  $f(t) = f$  (uso de bomba com rotação fixa)

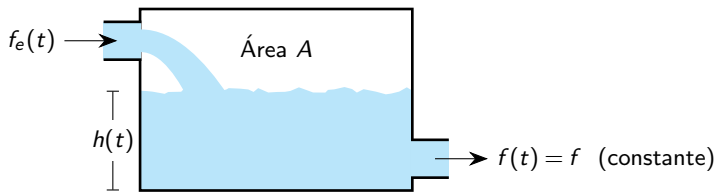
$$A \frac{d}{dt} h(t) = f_e(t) - f$$

~ No regime permanente:  $\bar{f}_e = f$

~ Var. de desvio:  $\tilde{h}(t) \triangleq h(t)$ ,  $\tilde{f}_e(t) \triangleq f_e(t) - \bar{f}_e$

$$A \frac{d}{dt} \tilde{h}(t) = \tilde{f}_e(t) \quad \Rightarrow \quad G(s) = \frac{\tilde{H}(s)}{\tilde{F}_e(s)} = \frac{1/A}{s}$$

## Exemplo: tanque (processo integrador)



↝ Fluxo de saída contante  $f(t) = f$  (uso de bomba com rotação fixa)

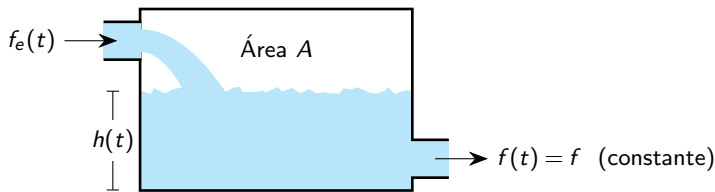
$$A \frac{d}{dt} h(t) = f_e(t) - f$$

↝ No regime permanente:  $\bar{f}_e = f$

↝ Var. de desvio:  $\tilde{h}(t) \triangleq h(t)$ ,  $\tilde{f}_e(t) \triangleq f_e(t) - \bar{f}_e$

$$A \frac{d}{dt} \tilde{h}(t) = \tilde{f}_e(t) \quad \Rightarrow \quad G(s) = \frac{\tilde{H}(s)}{\tilde{F}_e(s)} = \frac{1/A}{s}$$

## Exemplo: tanque (processo integrador)



↝ Fluxo de saída contante  $f(t) = f$  (uso de bomba com rotação fixa)

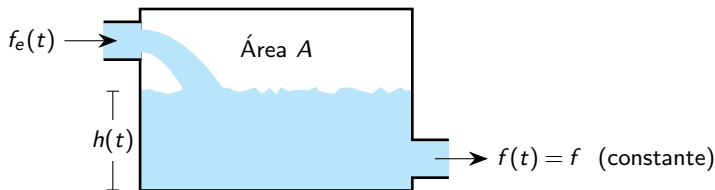
$$A \frac{d}{dt} h(t) = f_e(t) - f$$

↝ No regime permanente:  $\bar{f}_e = f$

↝ Var. de desvio:  $\tilde{h}(t) \triangleq h(t)$ ,  $\tilde{f}_e(t) \triangleq f_e(t) - \bar{f}_e$

$$A \frac{d}{dt} \tilde{h}(t) = \tilde{f}_e(t) \quad \Rightarrow \quad G(s) = \frac{\tilde{H}(s)}{\tilde{F}_e(s)} = \frac{1/A}{s}$$

## Exemplo: tanque (processo integrador)



↝ Fluxo de saída contante  $f(t) = f$  (uso de bomba com rotação fixa)

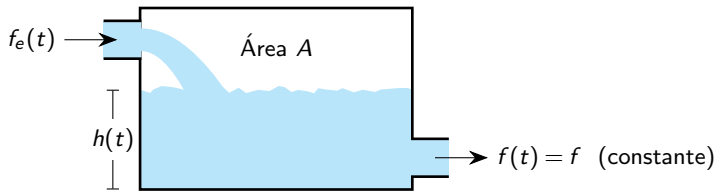
$$A \frac{d}{dt} h(t) = f_e(t) - f$$

↝ No regime permanente:  $\bar{f}_e = f$

↝ Var. de desvio:  $\tilde{h}(t) \triangleq h(t)$ ,  $\tilde{f}_e(t) \triangleq f_e(t) - \bar{f}_e$

$$A \frac{d}{dt} \tilde{h}(t) = \tilde{f}_e(t) \quad \Rightarrow \quad G(s) = \frac{\tilde{H}(s)}{\tilde{F}_e(s)} = \frac{1/A}{s}$$

## Exemplo: tanque (processo integrador)



↝ Fluxo de saída contante  $f(t) = f$  (uso de bomba com rotação fixa)

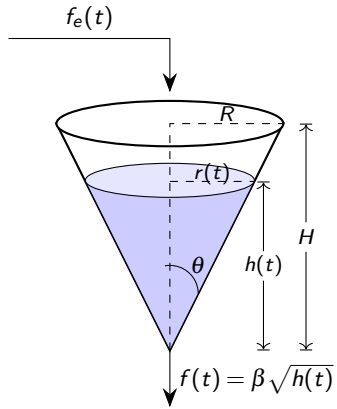
$$A \frac{d}{dt} h(t) = f_e(t) - f$$

↝ No regime permanente:  $\bar{f}_e = f$

↝ Var. de desvio:  $\tilde{h}(t) \triangleq h(t)$ ,  $\tilde{f}_e(t) \triangleq f_e(t) - \bar{f}_e$

$$A \frac{d}{dt} \tilde{h}(t) = \tilde{f}_e(t) \quad \Rightarrow \quad G(s) = \frac{\tilde{H}(s)}{\tilde{F}_e(s)} = \frac{1/A}{s}$$

## Exercício: tanque cônico



~ Qual a função de transferência entre  $F(s)$  e  $H(s)$  no ponto de operação  $\bar{h}$  ?

# Resposta ao degrau de um sistema de 1<sup>a</sup> ordem

- Seja a entrada degrau  $u(t)$  de amplitude  $A$

$$U(s) = \frac{A}{s}$$

Logo,

$$Y(s) = G(s)U(s) = \frac{K}{\tau s + 1} \cdot \frac{A}{s} = \frac{AK}{s} - \frac{AK}{s + 1/\tau}$$

Aplicando a transformada de Laplace inversa:

$$y(t) = AK \left( 1 - e^{-\frac{t}{\tau}} \right)$$

$$\begin{cases} y(0) = 0 \\ y(\tau) = 0,632 \cdot AK \\ y(t > 4\tau) \approx AK \end{cases}$$

$$y(\tau) = 63,2\% \ y(\infty)$$

Observe que  $\frac{\Delta y}{\Delta u} = K$

# Resposta ao degrau de um sistema de 1<sup>a</sup> ordem

- Seja a entrada degrau  $u(t)$  de amplitude  $A$

$$U(s) = \frac{A}{s}$$

Logo,

$$Y(s) = G(s)U(s) = \frac{K}{\tau s + 1} \cdot \frac{A}{s} = \frac{AK}{s} - \frac{AK}{s + 1/\tau}$$

Aplicando a transformada de Laplace inversa:

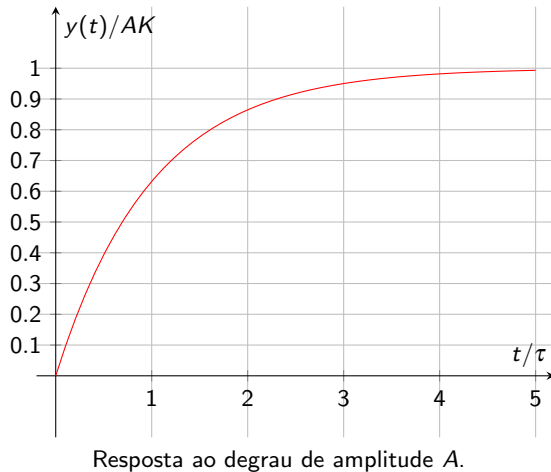
$$y(t) = AK \left( 1 - e^{-\frac{t}{\tau}} \right)$$

$$\begin{cases} y(0) = 0 \\ y(\tau) = 0,632 \cdot AK \\ y(t > 4\tau) \approx AK \end{cases}$$

$$y(\tau) = 63,2\% \ y(\infty)$$

Observe que  $\frac{\Delta y}{\Delta u} = K$

# Resposta ao degrau de um sistema de 1<sup>a</sup> ordem



# Resposta ao degrau de um sistema de 1<sup>a</sup> ordem

- Para um processo puramente capacitivo,

$$Y(s) = \frac{K}{s} \cdot \frac{1}{s} = \frac{K}{s^2}$$

$$y(t) = Kt$$

- Comportamento de um integrador puro
- Processo não auto-regulado

# Resposta ao impulso de um sistema de 1<sup>a</sup> ordem

- Seja a entrada impulso unitário  $f(t) = \delta(t)$

$$\mathcal{L}\{\delta(t)\} = 1$$

Logo,

$$Y(s) = G(s)F(s) = G(s) = \frac{K/\tau}{s + 1/\tau}$$

Aplicando a transformada de Laplace inversa:

$$y(t) = \mathcal{L}^{-1}\{G(s)\} = \frac{K}{\tau} e^{-t/\tau}$$

- Observe que, para um sistema linear invariante no tempo,

$$\delta(t) = \frac{d}{dt}u(t) \implies y_\delta(t) = \frac{d}{dt}y_u(t)$$

# Resposta ao impulso de um sistema de 1<sup>a</sup> ordem

- Seja a entrada impulso unitário  $f(t) = \delta(t)$

$$\mathcal{L}\{\delta(t)\} = 1$$

Logo,

$$Y(s) = G(s)F(s) = G(s) = \frac{K/\tau}{s + 1/\tau}$$

Aplicando a transformada de Laplace inversa:

$$y(t) = \mathcal{L}^{-1}\{G(s)\} = \frac{K}{\tau} e^{-t/\tau}$$

- Observe que, para um sistema linear invariante no tempo,

$$\delta(t) = \frac{d}{dt}u(t) \implies y_\delta(t) = \frac{d}{dt}y_u(t)$$

# Sumário

- 1 Sistemas de 1<sup>a</sup> ordem
- 2 Sistemas de 2<sup>a</sup> ordem
- 3 Características da resposta subamortecida
- 4 Efeito da adição de um zero e ganho negativo

# Sistemas de 2<sup>a</sup> ordem

- Seja a equação diferencial de segunda ordem:

$$a_2 \frac{d^2y(t)}{dt^2} + a_1 \frac{dy(t)}{dt} + a_0 y(t) = bf(t)$$

Se  $a_0 \neq 0$

$$\tau^2 \frac{d^2y(t)}{dt^2} + 2\zeta\tau \frac{dy(t)}{dt} + y(t) = Kf(t)$$

$\tau$ : período natural de oscilação do sistema

$\zeta$ : fator de amortecimento

$K$ : ganho estático

Para condições iniciais nulas (variáveis de desvio):

$$G(s) = \frac{Y(s)}{F(s)} = \frac{K}{\tau^2 s^2 + 2\zeta\tau s + 1}$$

# Sistemas de 2<sup>a</sup> ordem

- Seja a equação diferencial de segunda ordem:

$$a_2 \frac{d^2y(t)}{dt^2} + a_1 \frac{dy(t)}{dt} + a_0 y(t) = bf(t)$$

Se  $a_0 \neq 0$

$$\tau^2 \frac{d^2y(t)}{dt^2} + 2\zeta\tau \frac{dy(t)}{dt} + y(t) = Kf(t)$$

$\tau$ : período natural de oscilação do sistema

$\zeta$ : fator de amortecimento

$K$ : ganho estático

Para condições iniciais nulas (variáveis de desvio):

$$G(s) = \frac{Y(s)}{F(s)} = \frac{K}{\tau^2 s^2 + 2\zeta\tau s + 1}$$

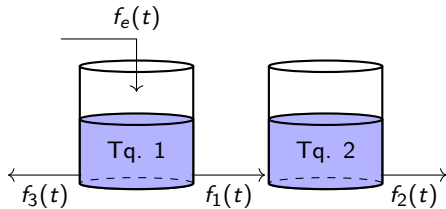
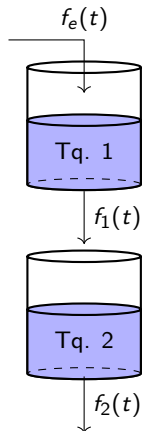
# Sistemas de 2<sup>a</sup> ordem

- Exemplos de sistemas de 2<sup>a</sup> ordem:

1  $\frac{K_1}{\tau_1 s + 1}$  em cascata com  $\frac{K_2}{\tau_2 s + 1}$

2 Sistemas inerentes com inércia (raros em sistemas químicos)

3 Processo + controlador



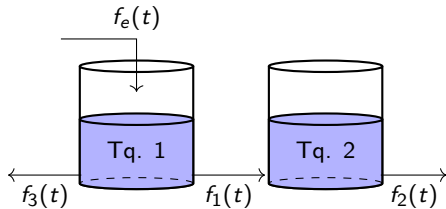
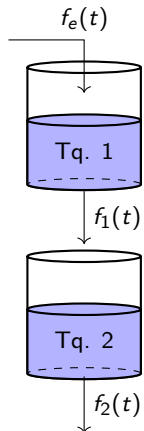
# Sistemas de 2<sup>a</sup> ordem

- Exemplos de sistemas de 2<sup>a</sup> ordem:

1  $\frac{K_1}{\tau_1 s + 1}$  em cascata com  $\frac{K_2}{\tau_2 s + 1}$

2 Sistemas inerentes com inércia (raros em sistemas químicos)

3 Processo + controlador

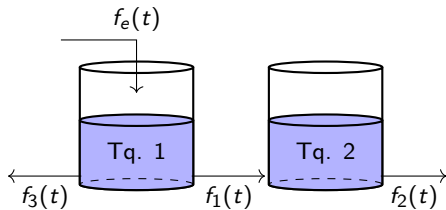
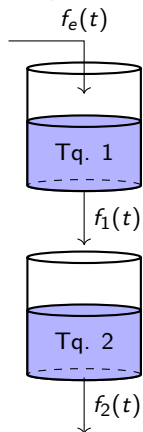


# Sistemas de 2<sup>a</sup> ordem

- Exemplos de sistemas de 2<sup>a</sup> ordem:

1  $\frac{K_1}{\tau_1 s + 1}$  em cascata com  $\frac{K_2}{\tau_2 s + 1}$

- 2 Sistemas inerentes com inércia (raros em sistemas químicos)
- 3 Processo + controlador



- Para uma entrada degrau de amplitude  $A$ , tem-se

$$Y(s) = \frac{K}{\tau^2 s^2 + 2\zeta\tau s + 1} \cdot \frac{A}{s}$$

- Raízes da equação característica (polos de  $G(s)$ ):

$$\tau^2 s^2 + 2\zeta\tau s + 1 = 0$$

$$p_{1,2} = -\frac{\zeta}{\tau} \pm \frac{\sqrt{\zeta^2 - 1}}{\tau}, \quad \text{Obs.: } \Re\{p_{1,2}\} < 0$$

- Para uma entrada degrau de amplitude  $A$ , tem-se

$$Y(s) = \frac{K}{\tau^2 s^2 + 2\zeta\tau s + 1} \cdot \frac{A}{s}$$

- Raízes da equação característica (polos de  $G(s)$ ):

$$\tau^2 s^2 + 2\zeta\tau s + 1 = 0$$

$$p_{1,2} = -\frac{\zeta}{\tau} \pm \frac{\sqrt{\zeta^2 - 1}}{\tau}, \quad \text{Obs.: } \Re\{p_{1,2}\} < 0$$

# Resposta ao degrau de sistemas de 2<sup>a</sup> ordem

- O sistemas de 2<sup>a</sup> ordem também é frequentemente visto na forma

$$G(s) = \frac{K\omega_n^2}{s^2 + 2\zeta\omega_n s + \omega_n^2}, \quad \omega_n = \frac{1}{\tau}$$

em que  $\omega_n$  é a frequência natural não-amortecida

- Raízes da equação característica (polos de  $G(s)$ ):

$$p_{1,2} = -\zeta\omega_n \pm j\omega_n\sqrt{1-\zeta^2}$$

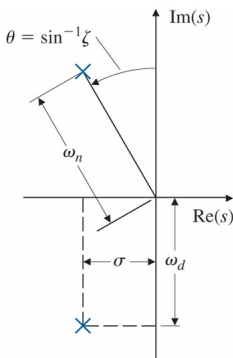
ou

$$p_{1,2} = -\sigma \pm j\omega_d$$

$$\sigma = \zeta\omega_n$$

$$\omega_d = \omega_n\sqrt{1-\zeta^2}$$

em que  $\omega_d$  é a frequência de oscilação amortecida.



Par de pólos complexos no plano-s [Franklin, Powell & Emami-Naeini 2013].

# Resposta ao degrau de sistemas de 2<sup>a</sup> ordem

- O sistemas de 2<sup>a</sup> ordem também é frequentemente visto na forma

$$G(s) = \frac{K\omega_n^2}{s^2 + 2\zeta\omega_n s + \omega_n^2}, \quad \omega_n = \frac{1}{\tau}$$

em que  $\omega_n$  é a frequência natural não-amortecida

- Raízes da equação característica  
(polos de  $G(s)$ ):

$$p_{1,2} = -\zeta\omega_n \pm j\omega_n\sqrt{1-\zeta^2}$$

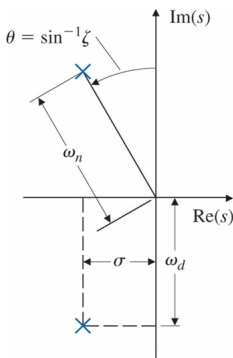
ou

$$p_{1,2} = -\sigma \pm j\omega_d$$

$$\sigma = \zeta\omega_n$$

$$\omega_d = \omega_n\sqrt{1-\zeta^2}$$

em que  $\omega_d$  é a frequência de oscilação amortecida.



Par de pólos complexos no plano-s [Franklin, Powell & Emami-Naeini 2013].

# Resposta ao degrau de sistemas de 2<sup>a</sup> ordem

## ● Característica da resposta de sistemas de 2<sup>a</sup> ordem

| Amortecimento   | Classificação           | Resposta              | Raízes                    |
|-----------------|-------------------------|-----------------------|---------------------------|
| $\zeta > 1$     | superamortecida         | estável e monótona    | 2, reais                  |
| $\zeta = 1$     | criticamente amortecida | estável e monótona    | 1, reais (iguais)         |
| $0 < \zeta < 1$ | subamortecida           | estável e oscilatória | 2, par complexo conjugado |
| $\zeta = 0$     | não-amortecida          | oscilação sustentável | 2, par imaginário puro    |
| $\zeta < 0$     | instável                | crescente             | 2, parte real positiva    |

# Respostas associadas a localização dos pólos

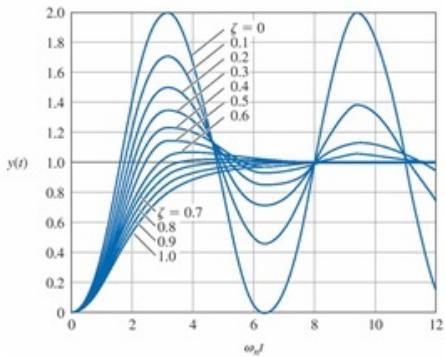


Figura: Respostas ao degrau de sistemas de 2<sup>a</sup> ordem [Franklin, Powell & Emami-Naeini 2013].

# Resposta ao degrau de sistemas de 2<sup>a</sup> ordem

- Caso A – Polos reais distintos:  $\zeta > 1$ : Resposta superamortecida (sobreamortecida), não-oscilatória

- Raízes:

$$p_1 = -\frac{\zeta + \sqrt{\zeta^2 - 1}}{\tau}, \quad p_2 = -\frac{\zeta - \sqrt{\zeta^2 - 1}}{\tau}$$

- Função de transferência

$$G(s) = \frac{Y(s)}{F(s)} = \frac{K}{(\tau_{e_1}s + 1)(\tau_{e_2}s + 1)}, \quad \tau_{e_1} = -1/p_1, \quad \tau_{e_2} = -1/p_2$$

- Resposta ao degrau  $A/s$

$$y(t) = KA \left[ 1 - \frac{1}{\tau_{e_1} - \tau_{e_2}} \left( \tau_{e_1} e^{-t/\tau_{e_1}} - \tau_{e_2} e^{-t/\tau_{e_2}} \right) \right], \quad t \geq 0$$

# Resposta ao degrau de sistemas de 2<sup>a</sup> ordem

- Caso A – Polos reais distintos:  $\zeta > 1$ : Resposta superamortecida (sobreamortecida), não-oscilatória

- Raízes:

$$p_1 = -\frac{\zeta + \sqrt{\zeta^2 - 1}}{\tau}, \quad p_2 = -\frac{\zeta - \sqrt{\zeta^2 - 1}}{\tau}$$

- Função de transferência

$$G(s) = \frac{Y(s)}{F(s)} = \frac{K}{(\tau_{e_1}s + 1)(\tau_{e_2}s + 1)}, \quad \tau_{e_1} = -1/p_1, \quad \tau_{e_2} = -1/p_2$$

- Resposta ao degrau  $A/s$

$$y(t) = KA \left[ 1 - \frac{1}{\tau_{e_1} - \tau_{e_2}} \left( \tau_{e_1} e^{-t/\tau_{e_1}} - \tau_{e_2} e^{-t/\tau_{e_2}} \right) \right], \quad t \geq 0$$

# Resposta ao degrau de sistemas de 2<sup>a</sup> ordem

- Caso A – Polos reais distintos:  $\zeta > 1$ : Resposta superamortecida (sobreamortecida), não-oscilatória

- Raízes:

$$p_1 = -\frac{\zeta + \sqrt{\zeta^2 - 1}}{\tau}, \quad p_2 = -\frac{\zeta - \sqrt{\zeta^2 - 1}}{\tau}$$

- Função de transferência

$$G(s) = \frac{Y(s)}{F(s)} = \frac{K}{(\tau_{e_1}s + 1)(\tau_{e_2}s + 1)}, \quad \tau_{e_1} = -1/p_1, \quad \tau_{e_2} = -1/p_2$$

- Resposta ao degrau  $A/s$

$$y(t) = KA \left[ 1 - \frac{1}{\tau_{e_1} - \tau_{e_2}} \left( \tau_{e_1} e^{-t/\tau_{e_1}} - \tau_{e_2} e^{-t/\tau_{e_2}} \right) \right], \quad t \geq 0$$

# Resposta ao degrau de sistemas de 2<sup>a</sup> ordem

- Caso B – Dois polos reais iguais:  $\zeta = 1$ : Resposta criticamente amortecida

- Raízes:

$$p = p_1 = p_2 = -\frac{\zeta}{\tau}$$

- Função de transferência

$$G(s) = \frac{Y(s)}{F(s)} = \frac{K}{(\tau_e s + 1)^2}, \quad \tau_e = \frac{\tau}{\zeta}$$

- Resposta ao degrau A/s

$$y(t) = KA \left[ 1 - \left( 1 + \frac{t}{\tau} \right) e^{-t/\tau_e} \right], \quad t \geq 0$$

# Resposta ao degrau de sistemas de 2<sup>a</sup> ordem

- Caso B – Dois polos reais iguais:  $\zeta = 1$ : Resposta criticamente amortecida

- Raízes:

$$p = p_1 = p_2 = -\frac{\zeta}{\tau}$$

- Função de transferência

$$G(s) = \frac{Y(s)}{F(s)} = \frac{K}{(\tau_e s + 1)^2}, \quad \tau_e = \frac{\tau}{\zeta}$$

- Resposta ao degrau A/s

$$y(t) = KA \left[ 1 - \left( 1 + \frac{t}{\tau} \right) e^{-t/\tau_e} \right], \quad t \geq 0$$

# Resposta ao degrau de sistemas de 2<sup>a</sup> ordem

- Caso B – Dois polos reais iguais:  $\zeta = 1$ : Resposta criticamente amortecida

- Raízes:

$$p = p_1 = p_2 = -\frac{\zeta}{\tau}$$

- Função de transferência

$$G(s) = \frac{Y(s)}{F(s)} = \frac{K}{(\tau_e s + 1)^2}, \quad \tau_e = \frac{\tau}{\zeta}$$

- Resposta ao degrau A/s

$$y(t) = KA \left[ 1 - \left( 1 + \frac{t}{\tau} \right) e^{-t/\tau_e} \right], \quad t \geq 0$$

# Respostas de 1a ordem e 2a ordem sobreamortecida

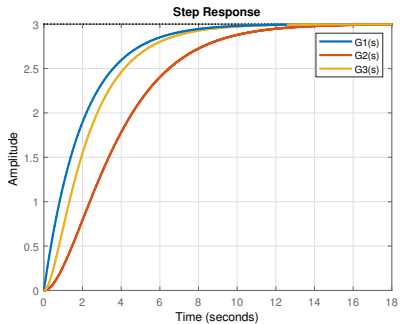
- Seja as funções de transferência

$$G_1(s) = \frac{3}{2s+1} \quad \rightsquigarrow \text{polo: } -1/2$$

$$G_2(s) = \frac{3}{(2s+1)(0.5s+1)} \quad \rightsquigarrow \text{polos: } -1/2, -2$$

$$G_3(s) = \frac{3}{(2s+1)^2} \quad \rightsquigarrow \text{polos: } -1/2, -1/2$$

- Resposta ao degrau unitário:



# Resposta ao degrau de sistemas de 2<sup>a</sup> ordem

- Caso C – Par de polos complexos conjugados:  $\zeta < 1$ : Resposta subamortecida ou oscilatória

- $0 \leq \zeta < 1 \rightsquigarrow$  pólos são um par de raízes complexas conjugadas

$$p_1 = -\frac{\zeta + j\sqrt{1-\zeta^2}}{\tau}, \quad p_2 = -\frac{\zeta - j\sqrt{1-\zeta^2}}{\tau}$$

- Resposta ao degrau A/s

$$y(t) = KA \left[ 1 - \frac{1}{\sqrt{1-\zeta^2}} e^{-(\zeta/\tau)t} \sin(\omega_d t + \phi) \right], \quad t \geq 0$$

$$\omega_d = \frac{\sqrt{1-\zeta^2}}{\tau}, \quad \phi = \operatorname{tg}^{-1}\left(\frac{\sqrt{1-\zeta^2}}{\zeta}\right)$$

- Observação:

- $\zeta < 0,7 \rightarrow$  oscilação em torno de  $y(\infty)$
- Em processos químicos ocorre usualmente devido a presença do controlador

# Resposta ao degrau de sistemas de 2<sup>a</sup> ordem

- Caso C – Par de polos complexos conjugados:  $\zeta < 1$ : Resposta subamortecida ou oscilatória

- $0 \leq \zeta < 1 \rightsquigarrow$  pólos são um par de raízes complexas conjugadas

$$p_1 = -\frac{\zeta + j\sqrt{1-\zeta^2}}{\tau}, \quad p_2 = -\frac{\zeta - j\sqrt{1-\zeta^2}}{\tau}$$

- Resposta ao degrau A/s

$$y(t) = KA \left[ 1 - \frac{1}{\sqrt{1-\zeta^2}} e^{-(\zeta/\tau)t} \sin(\omega_d t + \phi) \right], \quad t \geq 0$$

$$\omega_d = \frac{\sqrt{1-\zeta^2}}{\tau}, \quad \phi = \operatorname{tg}^{-1} \left( \frac{\sqrt{1-\zeta^2}}{\zeta} \right)$$

- Observação:

- $\zeta < 0,7 \rightarrow$  oscilação em torno de  $y(\infty)$
- Em processos químicos ocorre usualmente devido a presença do controlador

# Resposta ao degrau de sistemas de 2<sup>a</sup> ordem

- Caso C – Par de polos complexos conjugados:  $\zeta < 1$ : Resposta subamortecida ou oscilatória

- $0 \leq \zeta < 1 \rightsquigarrow$  pólos são um par de raízes complexas conjugadas

$$p_1 = -\frac{\zeta + j\sqrt{1-\zeta^2}}{\tau}, \quad p_2 = -\frac{\zeta - j\sqrt{1-\zeta^2}}{\tau}$$

- Resposta ao degrau A/s

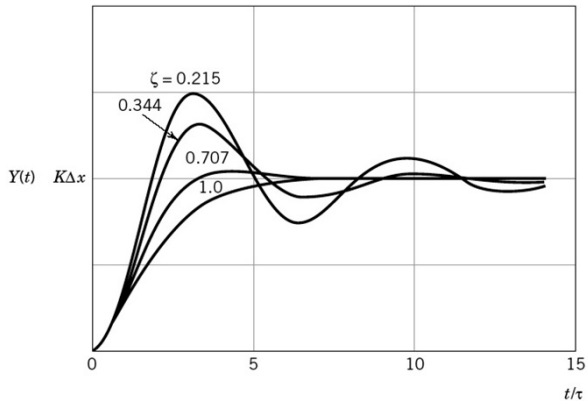
$$y(t) = KA \left[ 1 - \frac{1}{\sqrt{1-\zeta^2}} e^{-(\zeta/\tau)t} \sin(\omega_d t + \phi) \right], \quad t \geq 0$$

$$\omega_d = \frac{\sqrt{1-\zeta^2}}{\tau}, \quad \phi = \operatorname{tg}^{-1} \left( \frac{\sqrt{1-\zeta^2}}{\zeta} \right)$$

- Observação:

- $\zeta < 0,7 \rightarrow$  oscilação em torno de  $y(\infty)$
- Em processos químicos ocorre usualmente devido a presença do controlador

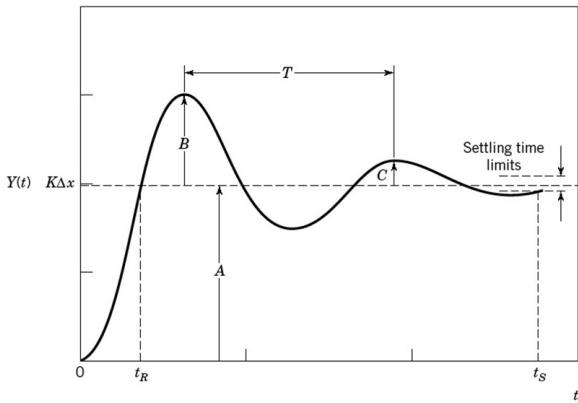
# Resposta subamortecida ao degrau



**Figura:** Efeito do coeficiente de amortecimento na resposta subamortecida ao degrau de amplitude  $\Delta x$ .

- 1 Sistemas de 1<sup>a</sup> ordem
- 2 Sistemas de 2<sup>a</sup> ordem
- 3 Características da resposta subamortecida
- 4 Efeito da adição de um zero e ganho negativo

# Características da resposta subamortecida



Second-order underdamped step response ( $\zeta = 0.215$ ).

**Figura:** Característica da resposta subamortecida.

# Características da resposta subamortecida

- Sobressinal (sobre-elevação):

$$M = \exp\left(\frac{-\pi\zeta}{\sqrt{1-\zeta^2}}\right) = \frac{B}{A}$$

$$M(\%) = \frac{y(t_p) - y(\infty)}{y(\infty)} \times 100\%$$

- Tempo de pico:

$$t_p = \frac{\pi\tau}{\sqrt{1-\zeta^2}}$$

- Razão de declínio:

$$DR = \exp\left(\frac{-2\pi\zeta}{\sqrt{1-\zeta^2}}\right) = \frac{C}{B} = M^2$$

# Características da resposta subamortecida

- Sobressinal (sobre-elevação):

$$M = \exp\left(\frac{-\pi\zeta}{\sqrt{1-\zeta^2}}\right) = \frac{B}{A}$$

$$M(\%) = \frac{y(t_p) - y(\infty)}{y(\infty)} \times 100\%$$

- Tempo de pico:

$$t_p = \frac{\pi\tau}{\sqrt{1-\zeta^2}}$$

- Razão de declínio:

$$DR = \exp\left(\frac{-2\pi\zeta}{\sqrt{1-\zeta^2}}\right) = \frac{C}{B} = M^2$$

# Características da resposta subamortecida

- Sobressinal (sobre-elevação):

$$M = \exp\left(\frac{-\pi\zeta}{\sqrt{1-\zeta^2}}\right) = \frac{B}{A}$$

$$M(\%) = \frac{y(t_p) - y(\infty)}{y(\infty)} \times 100\%$$

- Tempo de pico:

$$t_p = \frac{\pi\tau}{\sqrt{1-\zeta^2}}$$

- Razão de declínio:

$$DR = \exp\left(\frac{-2\pi\zeta}{\sqrt{1-\zeta^2}}\right) = \frac{C}{B} = M^2$$

# Características da resposta subamortecida

- Tempo de subida:

$$t_R = \frac{\tau}{\sqrt{1-\zeta^2}} \tan^{-1} \left( -\frac{\sqrt{1-\zeta^2}}{\zeta} \right)$$

Obs.: Um aproximação frequentemente usada em projeto para o tempo de subida para  $\zeta = 0.5$  (tempo de 10% a 90% de  $y(t)$ )

$$t_R \approx 1.8\tau = \frac{1.8}{\omega_n}$$

- Tempo de acomodação:

$$t_s = \frac{3\tau}{\zeta} = \frac{3}{\sigma} \quad (\text{critério de 5\%})$$

$$t_s = \frac{4\tau}{\zeta} = \frac{4}{\sigma} \quad (\text{critério de 2\%})$$

em que

$$\sigma = \zeta \omega_n = \frac{\zeta}{\tau}$$

# Características da resposta subamortecida

- Tempo de subida:

$$t_R = \frac{\tau}{\sqrt{1-\zeta^2}} \tan^{-1} \left( -\frac{\sqrt{1-\zeta^2}}{\zeta} \right)$$

Obs.: Um aproximação frequentemente usada em projeto para o tempo de subida para  $\zeta = 0.5$  (tempo de 10% a 90% de  $y(t)$ )

$$t_R \approx 1.8\tau = \frac{1.8}{\omega_n}$$

- Tempo de acomodação:

$$t_s = \frac{3\tau}{\zeta} = \frac{3}{\sigma} \quad (\text{critério de } 5\%)$$

$$t_s = \frac{4\tau}{\zeta} = \frac{4}{\sigma} \quad (\text{critério de } 2\%)$$

em que

$$\sigma = \zeta \omega_n = \frac{\zeta}{\tau}$$

# Características da resposta subamortecida

- Período de oscilação amortecida:

$$\omega_d = \frac{\sqrt{1 - \zeta^2}}{\tau} = \omega_n \sqrt{1 - \zeta^2} \quad [\text{rad/s}]$$

$$f = \frac{\omega}{2\pi} \quad [\text{Hz}], \quad T = \frac{1}{f} \quad [\text{s}]$$

- Período de oscilação natural (caso não houvesse amortecimento,  $\zeta = 0$ ):

$$\omega_n = \frac{1}{\tau} \quad [\text{rad/s}]$$

# Características da resposta subamortecida

- Período de oscilação amortecida:

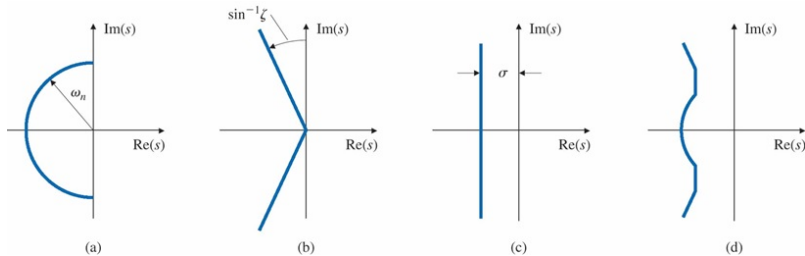
$$\omega_d = \frac{\sqrt{1 - \zeta^2}}{\tau} = \omega_n \sqrt{1 - \zeta^2} \quad [\text{rad/s}]$$

$$f = \frac{\omega}{2\pi} \quad [\text{Hz}], \quad T = \frac{1}{f} \quad [\text{s}]$$

- Período de oscilação natural (caso não houvesse amortecimento,  $\zeta = 0$ ):

$$\omega_n = \frac{1}{\tau} \quad [\text{rad/s}]$$

# Especificação resposta transiente subamortecida



**Figura:** Lugar geométrico dos pólos no plano-s de acordo com especificação resposta transiente submamortecida (a) tempo de subida; (b) sobresinal; (c) tempo de acomodação; (d) composição das três anteriores (região à esquerda da curva azul) [Franklin, Powell & Emami-Naeini 2013].

- 1 Sistemas de 1<sup>a</sup> ordem
- 2 Sistemas de 2<sup>a</sup> ordem
- 3 Características da resposta subamortecida
- 4 Efeito da adição de um zero e ganho negativo

# Efeito da adição de um zero em um sistema de 2<sup>a</sup> ordem

- Seja a resposta ao degrau de um sistema de 2<sup>a</sup> ordem com zero

$$\begin{aligned}Y(s) &= \frac{K(\xi_1 s + 1)}{(\tau_1 s + 1)(\tau_2 s + 1)} \frac{1}{s} \\&= K \left[ \frac{A_0}{s} + \frac{A_1}{\tau_1 s + 1} + \frac{A_2}{\tau_2 s + 1} \right]\end{aligned}$$

em que

$$A_0 = 1; \quad A_1 = \frac{-\tau_1(\tau_1 - \xi_1)}{\tau_1 - \tau_2}; \quad A_2 = \frac{-\tau_2(\tau_2 - \xi_1)}{\tau_2 - \tau_1};$$

Com a seguinte resposta no tempo

$$y(t) = K \left[ 1 - \left( \frac{\tau_1 - \xi_1}{\tau_1 - \tau_2} \right) e^{-t/\tau_1} - \left( \frac{\tau_2 - \xi_1}{\tau_2 - \tau_1} \right) e^{-t/\tau_2} \right]$$

- Cenários ( $\tau_1 < \tau_2$ ):

- 1  $\xi_1 > \tau_2$
- 2  $\xi_1 = \tau_2$  ou  $\xi_1 = \tau_1$
- 3  $0 < \xi_1 < \tau_2$
- 4  $\xi_1 < 0$

# Efeito da adição de um zero em um sistema de 2<sup>a</sup> ordem

- Seja a resposta ao degrau de um sistema de 2<sup>a</sup> ordem com zero

$$\begin{aligned}Y(s) &= \frac{K(\xi_1 s + 1)}{(\tau_1 s + 1)(\tau_2 s + 1)} \frac{1}{s} \\&= K \left[ \frac{A_0}{s} + \frac{A_1}{\tau_1 s + 1} + \frac{A_2}{\tau_2 s + 1} \right]\end{aligned}$$

em que

$$A_0 = 1; \quad A_1 = \frac{-\tau_1(\tau_1 - \xi_1)}{\tau_1 - \tau_2}; \quad A_2 = \frac{-\tau_2(\tau_2 - \xi_1)}{\tau_2 - \tau_1};$$

Com a seguinte resposta no tempo

$$y(t) = K \left[ 1 - \left( \frac{\tau_1 - \xi_1}{\tau_1 - \tau_2} \right) e^{-t/\tau_1} - \left( \frac{\tau_2 - \xi_1}{\tau_2 - \tau_1} \right) e^{-t/\tau_2} \right]$$

- Cenários ( $\tau_1 < \tau_2$ ):

- 1  $\xi_1 > \tau_2$
- 2  $\xi_1 = \tau_2$  ou  $\xi_1 = \tau_1$
- 3  $0 < \xi_1 < \tau_2$
- 4  $\xi_1 < 0$

# Efeito da adição de um zero em um sistema de 2<sup>a</sup> ordem

- Seja a resposta ao degrau de um sistema de 2<sup>a</sup> ordem com zero

$$\begin{aligned}Y(s) &= \frac{K(\xi_1 s + 1)}{(\tau_1 s + 1)(\tau_2 s + 1)} \frac{1}{s} \\&= K \left[ \frac{A_0}{s} + \frac{A_1}{\tau_1 s + 1} + \frac{A_2}{\tau_2 s + 1} \right]\end{aligned}$$

em que

$$A_0 = 1; \quad A_1 = \frac{-\tau_1(\tau_1 - \xi_1)}{\tau_1 - \tau_2}; \quad A_2 = \frac{-\tau_2(\tau_2 - \xi_1)}{\tau_2 - \tau_1};$$

Com a seguinte resposta no tempo

$$y(t) = K \left[ 1 - \left( \frac{\tau_1 - \xi_1}{\tau_1 - \tau_2} \right) e^{-t/\tau_1} - \left( \frac{\tau_2 - \xi_1}{\tau_2 - \tau_1} \right) e^{-t/\tau_2} \right]$$

- Cenários ( $\tau_1 < \tau_2$ ):

1  $\xi_1 > \tau_2$

2  $\xi_1 = \tau_2$  ou  $\xi_1 = \tau_1$

3  $0 < \xi_1 < \tau_2$

4  $\xi_1 < 0$

# Efeito da adição de um zero em um sistema de 2<sup>a</sup> ordem

- Seja a resposta ao degrau de um sistema de 2<sup>a</sup> ordem com zero

$$\begin{aligned}Y(s) &= \frac{K(\xi_1 s + 1)}{(\tau_1 s + 1)(\tau_2 s + 1)} \frac{1}{s} \\&= K \left[ \frac{A_0}{s} + \frac{A_1}{\tau_1 s + 1} + \frac{A_2}{\tau_2 s + 1} \right]\end{aligned}$$

em que

$$A_0 = 1; \quad A_1 = \frac{-\tau_1(\tau_1 - \xi_1)}{\tau_1 - \tau_2}; \quad A_2 = \frac{-\tau_2(\tau_2 - \xi_1)}{\tau_2 - \tau_1};$$

Com a seguinte resposta no tempo

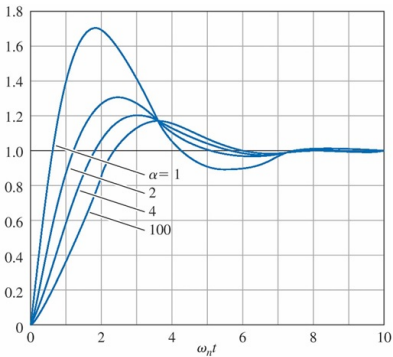
$$y(t) = K \left[ 1 - \left( \frac{\tau_1 - \xi_1}{\tau_1 - \tau_2} \right) e^{-t/\tau_1} - \left( \frac{\tau_2 - \xi_1}{\tau_2 - \tau_1} \right) e^{-t/\tau_2} \right]$$

- Cenários ( $\tau_1 < \tau_2$ ):

- 1  $\xi_1 > \tau_2$
- 2  $\xi_1 = \tau_2$  ou  $\xi_1 = \tau_1$
- 3  $0 < \xi_1 < \tau_2$
- 4  $\xi_1 < 0$

# Efeito da adição de um zero em um sistema de 2<sup>a</sup> ordem

- Para um sistema de 2<sup>a</sup> ordem padrão, considere a presença de um zero em  $s = -\alpha\zeta/\tau = -\alpha\sigma$  em que  $\alpha$  é um parâmetro que determina o quanto próximo o zero está da parte real dos pólos ( $-\sigma$ )



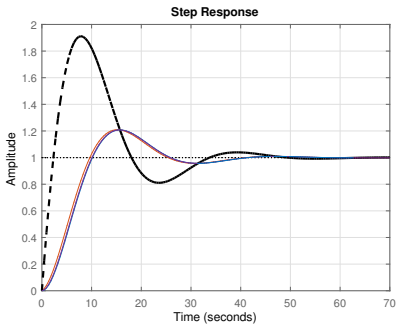
Resposta ao degrau de um sistema de 2<sup>a</sup> ordem ( $\zeta = 0,5$ ) com um zero para diferentes valores de  $\alpha$ . [Franklin, Powell & Emami-Naeini 2013].

# Efeito da adição de um zero em um sistema de 2<sup>a</sup> ordem

- Seja o sistema de 2<sup>a</sup> ordem com o par de polos  $2 \pm 4j$

$$G(s) = \frac{1}{20s^2 + 4s + 1}$$

- A resposta ao degrau do sistema de 2<sup>a</sup> ordem com diferentes valores de zeros adicionados é dado na figura abaixo. A resposta do sistema sem zeros e com zeros adicionados em  $s = -2$  e  $s = -10$  é dada pelas linhas contínuas com pouca diferença. A resposta com um zero adicionado em  $s = -0.1$  é dada pela linha tracejada preta que aumenta显著mente o sobressinal.

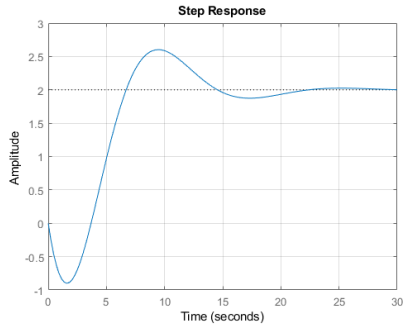


# Exemplo I - Zero no semiplano direito (SPD)

- Seja a função de transferência

$$G(s) = \frac{2(-3s + 1)}{5s^2 + 2s + 1}$$

- Ganho estático:  $G(0) = 2$ ; Polos:  $-0.2 \pm j0.4$ ; Zero:  $+1/3$ .
- Resposta ao degrau unitário:



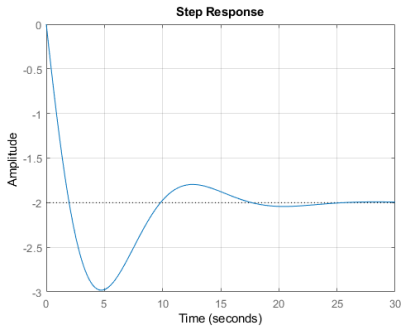
~~> Resposta inversa.

## Exemplo II - Ganho estático do sistema negativo

- Seja a função de transferência

$$G(s) = \frac{-2(3s+1)}{5s^2 + 2s + 1}$$

- Ganho estático:  $G(0) = -2$ ; Polos:  $-0.2 \pm j0.4$ ; Zero:  $-1/3$ .
- Resposta ao degrau unitário:



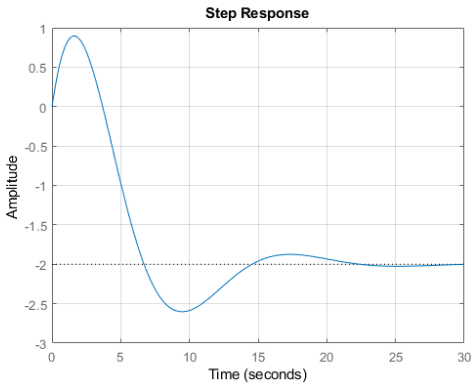
Atuação inversa entre variável manipulada (entrada) e controlada (saída).

## Exemplo III - Ganho estático negativo e zero no SPD

- Seja a função de transferência

$$G(s) = \frac{-2(-3s+1)}{5s^2 + 2s + 1}$$

- Ganho estático:  $G(0) = -2$ ; Polos:  $-0.2 \pm j0.4$ ; Zero:  $+1/3$ .
- Resposta ao degrau unitário:



## Exemplo IV - Polo na origem

- Seja a função de transferência

$$G(s) = \frac{5}{s(2s+1)}$$

- Resposta ao degrau unitário:

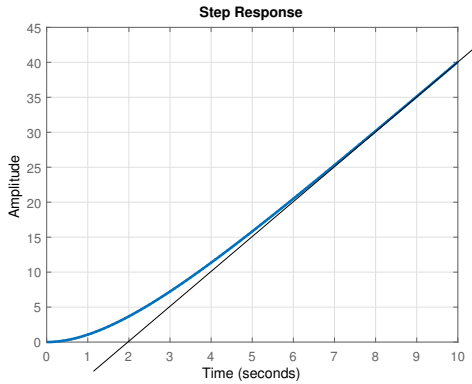


Figura: Reposta ao degrau unitário e assintota.